

JAERI-Data/Code
97-009



JP9705021



第一原理電子状態計算プログラムの並列化

1997年3月

渡部 弘・小口多美夫*

日本原子力研究所
Japan Atomic Energy Research Institute

本レポートは、日本原子力研究所が不定期に公刊している研究報告書です。
入手の問合わせは、日本原子力研究所研究情報部研究情報課（〒319-11 茨城県那珂郡東海村）あて、お申し越してください。なお、このほかに財団法人原子力弘済会資料センター（〒319-11 茨城県那珂郡東海村日本原子力研究所内）で複写による実費頒布をおこなっております。

This report is issued irregularly.

Inquiries about availability of the reports should be addressed to Research Information Division, Department of Intellectual Resources, Japan Atomic Energy Research Institute, Tokai-mura, Naka-gun, Ibaraki-ken 319-11, Japan.

© Japan Atomic Energy Research Institute, 1997

編集兼発行 日本原子力研究所
印 刷 ㈱原子力資料サービス

第一原理電子状態計算プログラムの並列化

日本原子力研究所計算科学技術推進センター

渡部 弘・小口多美夫*

(1997年2月10日受理)

第一原理電子状態計算プログラムの並列化について報告する。ターゲットマシンは共有メモリ型マシンに NEC SX-4, 分散メモリ型マシンに富士通 VPP300 を採用した。各々のマシンの特徴について概観した後、各々の特性を生かした並列化を行った。その結果、SX-4 では 2 並列で 1.60 倍の加速率が、VPP300 では 12 並列で最大 4.97 倍の加速率が得られた。

Parallelization for First Principles Electronic State Calculation Program

Hiroshi WATANABE and Tamio OGUCHI*

Center for Promotion of Computational Science
Japan Atomic Energy Research Institute
Nakameguro, Meguro-ku, Tokyo-to

(Received February 10, 1997)

In this report we study the parallelization for First principles electronic state calculation program. The target machines are NEC SX-4 for shared memory type parallelization and FUJITSU VPP300 for distributed memory type parallelization. The features of each parallel machine are surveyed, and the parallelization methods suitable for each are proposed. It is shown that 1.60 times acceleration is achieved with 2 CPU parallelization by SX-4 and 4.97 times acceleration is achieved with 12 PE parallelization by VPP 300.

Keywords: First Principles, Electronic State, Parallelization, SX-4, VPP300

* Hiroshima University

目 次

1. はじめに	1
2. FLAPW 法	2
3. 計算コスト調査	3
4. 並列化方針	5
5. SX-4 での並列化	7
5.1 SX-4 の特徴	7
5.2 並列化方法	7
5.3 性能測定結果	10
5.4 考 察	11
6. VPP300 での並列化	12
6.1 VPP300 の特徴	12
6.2 UNIFY 手法	12
6.3 並列化方法	14
6.4 性能測定結果	16
6.5 考 察	18
7. ま と め	20
謝 辞	20
参考文献	20
付 録	21

Contents

1. Introduction	1
2. FLAPW Method	2
3. Investigation of Computing Cost	3
4. Parallelization Strategy	5
5. Parallelization on SX-4	7
5.1 Features of SX-4	7
5.2 Parallelization Method	7
5.3 Performance Evaluation	10
5.4 Discussion	11
6. Parallelization on VPP300	12
6.1 Features of VPP300	12
6.2 UNIFY Method	12
6.3 Parallelization Method	14
6.4 Performance Evaluation	16
6.5 Discussion	18
7. Conclusion	20
Acknowledgements	20
References	20
Appendix	21

1 はじめに

固体中の電子状態計算は、物性研究や各種新物質、新材料開発にとって非常に重要である。特に密度汎関数理論に基づく電子状態計算は、調整可能なパラメータを含まないという非経験性のゆえに、第一原理計算として発展しており、多くの信頼性の高い結果を与えている [1]。

しかし一方、必要な計算リソースは計算時間、記憶容量ともに膨大であり、現時点でのパーソナルコンピュータやワークステーションで実用的な計算を行うには多大な困難が伴う。従ってスーパーコンピュータの利用が不可欠なのだが、従来のベクトル型スーパーコンピュータではやはり荷が重い。たとえば本報告書で説明している FLAPW 法による第一原理計算を従来のベクトル型スーパーコンピュータで計算すると、妥当な結果が得られるまでに約 12 時間の CPU 時間を要する。このことはセンターマシンのような多数で共用する状態では、結果を得るまでにより多くの経過時間 (elapsed time) が必要ということであり (多くの場合 CPU 時間の 2 倍以上)、研究現場および設計現場で頻繁に行われる trial and error に重大な支障をきたす。そこでより高速な第一原理計算プログラムの開発は急務といえる。

以上のような背景のもと、我々は FLAPW (Full potential Linear Augmented Plane Wave) 法による第一原理電子状態計算プログラムの並列化を行った。単一 CPU による性能向上が頭打ちになっている今日、並列化による高速化は唯一の解決策といえる。幸い本プログラムは原理的に高粒度の並列性を有しており、かなりの高速化が期待できる。

並列マシンはそのメモリ実装方式の違いにより、共有メモリ型と分散メモリ型に分類される。共有メモリ型は 1 つの大容量のメモリを複数個の CPU が共有しているのに対し、分散メモリ型は各々の CPU が固有のメモリを所有している。各々の方式には一長一短があり、どちらが優れているとは一概には言えない。並列化手法も共有メモリ型と分散メモリ型では大幅に異なる。本研究ではできるだけ多くの並列機をサポートするという観点から、両方式に対して別々の並列化を試みた。ターゲットマシンとしては共有メモリ型並列マシンとして NEC SX-4、分散メモリ型並列マシンとして富士通 VPP300 を採用した。両マシンとも日本原子力研究所 計算科学技術推進センター (以下 当センターと略す) が所有するマシンである。

本報告書の構成は以下の通りである。第 2 章は本研究で並列化される第一原理電子状態計算プログラムの原理となる FLAPW 法について簡単に説明する。第 3 章では FLAPW 法プログラムを非並列で実行することにより計算時間コスト解析を行い、並列化すべきルーチンを抽出する。第 4 章ではそれらのルーチンに対する原理的な並列化方針について記述する。第 5 章と第 6 章では、第 4 章の並列化方針に従って SX-4 及び VPP300 上でプログラムを並列化し、並列化プログラムの性能を測定する。

並列計算の現状を省みるに、残念ながら並列化プログラミングがエンドユーザに十分に浸透しているとは言いがたい。その理由はいろいろ考えられるが、プログラムの並列化技術がベクトル化技術等に比べ格段に高度かつ困難であるにも関わらず、あるいはそうであるからこそ、プログラマをサポートする技術 (たとえば自動並列化コンパイラや各種並列化ツール) がいまだ未熟であることに起因すると思われる。もちろんこれらの技術は着実に進展しており多大な成果も出ているのであるが、ここ当面はプログラマ自身の” 人手による ” 並列化は避けられない状況が続くであろう。このような状況下で重要なのは、種々のプログラムを実際に並列化することによって得られる具体的な手法やノウハウの蓄積であり、その普及のための地道な努力である。そのため本報告書では、第 5 章及び第 6 章で共有メモリ型並列マシン及び分散メモリ型並列マシンでのプログラム並列化について詳しく述べた。本報告書がこれから並列化を行おうとする多くの第一線で活躍されている研究者の一助となるならば、筆者のこれに過ぎる喜びはない。

2 FLAPW 法

FLAPW(Full potential Linear Augmented Plane Wave) 法 [2] は Krakauer 等により 1979 年に提案された。この手法は密度汎関数理論にその基礎を置いており、以下の (Rydberg 原子単位による)Kohn-Sham 方程式を局所密度近似のもとで、セルフコンシステントに解を求める手法である。

$$[-\nabla^2 + v_{eff}(\mathbf{r})] \psi_i(\mathbf{r}) = \epsilon_i \psi_i(\mathbf{r}) \quad (1)$$

v_{eff} は有効ポテンシャルと呼ばれ、注目している一電子が結晶内で感じるポテンシャルである。 ϵ_i, ψ_i は各々、エネルギーと波動関数である。本来、対象とする系には相互作用しあう多くの電子が含まれ (多電子系) 厳密な取り扱いが困難である。しかしながら、局所密度近似の導入によりこの有効ポテンシャル中での相互作用のない一体の問題に帰着され、解法が可能となる。

有効ポテンシャル $v_{eff}(\mathbf{r})$ は各原子核の電荷 (+eZ) によるポテンシャル $v_{nucleus}(\mathbf{r})$ 、電子密度

$$n(\mathbf{r}) = \sum_i |\psi_i(\mathbf{r})|^2 \quad (2)$$

による静電的なポテンシャル $v_{electron}(\mathbf{r})$ 、および局所密度近似により表現された $n(\mathbf{r})$ を含む交換相関ポテンシャル $\mu_{xc}(\mathbf{r})$ の和として表わされる。

$$v_{eff}(\mathbf{r}) = v_{nucleus}(\mathbf{r}) + v_{electron}(\mathbf{r}) + \mu_{xc}(\mathbf{r}) \quad (3)$$

これらの式は、密度汎関数理論により与えられた電子密度の汎関数としての電子系の全エネルギーの密度に関する変分原理から導かれたものである。

このことにより、固体結晶系内部の電子状態は原理的には図 1 のアルゴリズムで計算できる。

一般に固有値問題には大きく分けて、行列を陽に対角化する方法とレイリー商を最小化する方法の 2 種類の解法がある。本研究では必要なメモリが少ないこと、並列化が容易なことからレイリー商を最小化する方法を採用している。従って Kohn-Sham 方程式 (1) は反復法で解かれており、その反復と区別するために、前図のセルフコンシステントな解を得るための反復を外部反復と呼ぶことにする。

Kohn-Sham 方程式 (1) を数値的に解くために波動関数 ψ_i を適当な基底関数で展開する。

FLAPW 法では、各原子 α の周りに muffin-tin 球とよばれる球 (半径 s_α) を仮定し、その球内領域では球面波を用いて平面波関数を補強 (augment) する基底関数を採用する。具体的には球面波 $\phi_{\alpha lm}(\mathbf{r}; E)$ を用いて次式のように書ける。

$$\phi_n(\mathbf{r}) = \bar{\phi}_n(\mathbf{r}) + \sum_\alpha \Theta(s_\alpha - r_\alpha) \left[\sum_{lm}^{\ell_{max}} \phi_{\alpha lm}(\mathbf{r}_\alpha) - \sum_{lm}^{\ell'_{max}} \bar{\phi}_{\alpha lm}(\mathbf{r}_\alpha) \right] \quad (4)$$

ここで、 $\mathbf{r}_\alpha = \mathbf{r} - \mathbf{R}_\alpha$ で、 \mathbf{R}_α は原子 α の位置座標ベクトルである。また lm に関する和の記号として、 $\sum_{lm}^{\ell_{max}} = \sum_{\ell=0}^{\ell_{max}} \sum_{m=-\ell}^{\ell}$ と略記した。式 (4) の第 1 項は平面波関数で次の様に与えられる。

$$\bar{\phi}_n(\mathbf{r}) = \Omega^{-1/2} \exp(i\mathbf{k}_n \cdot \mathbf{r}). \quad (5)$$

ここで、 $\mathbf{k}_n = \mathbf{k} - \mathbf{K}_n$ で、 \mathbf{K}_n は n 番目の逆格子ベクトルである。また式 (4) の第 2 項において、 $\Theta(x)$ はヘビサイドステップ関数である。

Kohn-Sham 方程式 (1) に課される境界条件は、結晶中の状態を区別する波数 k により異なる周期境界条件となる。 k の値は通常 10 から 100 の間である。各々の方程式は独立に解くことができ、このことがプログラムの効率的な並列化を可能にしている。

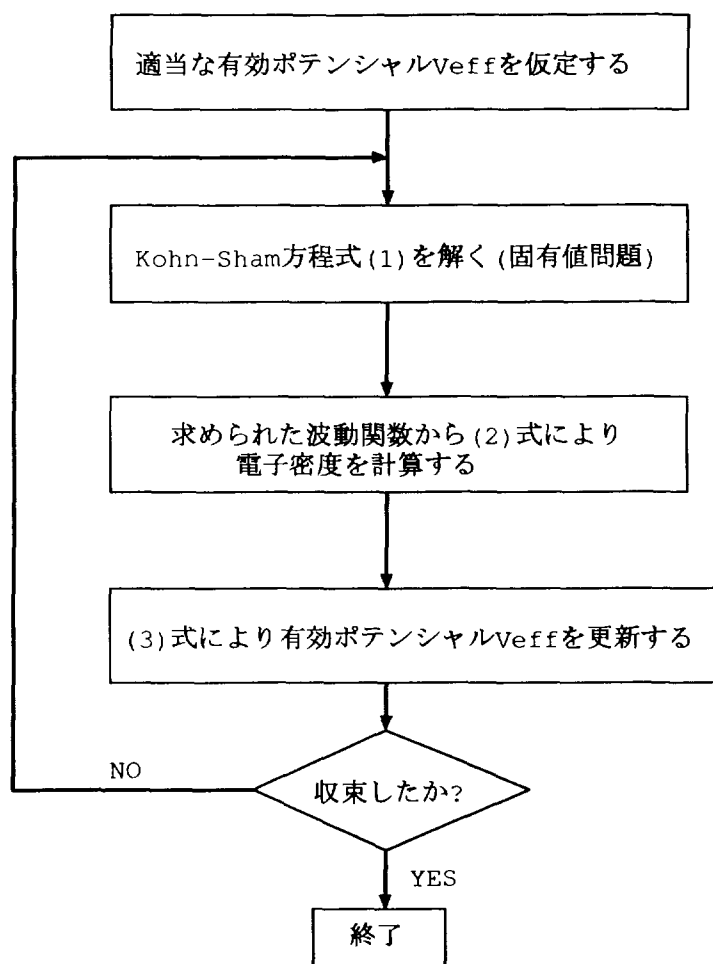


図 1: 第一原理電子状態計算のアルゴリズム

3 計算コスト調査

はじめに本プログラムのベクトル化状況調査および高コストルーチン切り出しのために、簡単なテスト用データを入力データとして、NEC SX-4でベクトル化率および各ルーチンのCPU TIMEを測定した。テスト用計算としては、タングステン表面に酸素を吸着させた場合の結晶構造と電子状態を解析するためのデータを用い、本来50~100回反復させる計算を1回に制限して行った。

SX-4にはプログラムの性能を落とすことなくプログラム性能情報を出力する機能がサポートされており、プログラム全体のベクトル化率やFLOPS値を非常に容易に求めることができる。この機能を用いて本プログラムの性能を占有状態で計測した。(プログラム性能情報参照)

この情報によるとベクトル化率は97%以上なので、さらに手動でループにベクトル化を施すことによる高速化は期待できないことがわかる。また占有状態で計測では本来、Real Time = User Time + Sys Timeが成立するはずであるが、上記データでは261秒程度のオーバーヘッドがある。この大部分はディスクへの入出力のための時間である。従って高速な入出力デバイスが存在するならば、それを積極的に利用すべきである。

```

***** Program Information *****
Real Time (sec)      :      811.997482
User Time (sec)     :      520.957229
Sys Time (sec)      :       31.546543
Vector Time (sec)   :      402.622795
Inst. Count         :     23340755295.
V. Inst. Count      :     6309408601.
V. Element Count    :     685586805858.
FLOP Count          :     297551253693.
MOPS                :       1348.706023
MFLOPS              :       571.162539 ← FLOPS 値
VLEN                :       108.661025
V. Op. Ratio (%)    :       97.576017 ← ベクトル化率
Memory Size (MB)    :       197.031250 ← メモリサイズ
MIPS                :       44.803592
I-Cache (sec)       :        9.428870
O-Cache (sec)       :        9.218893
Bank (sec)          :       56.692155

```

プログラム性能情報

次にサブルーチンの前後に CPU TIME 計測システム関数を挿入し、サブルーチンに費やされている CPU TIME を計測した。その結果、上位 3 ルーチンで全体の 78.9% の計算時間が消費されていることが判明した。(表 1 参照)

ルーチン名	cpu time (sec)	全体に占める比率 (%)
TOTAL	524.7	100.0
charsw	173.3	33.0
forcex	166.0	31.6
orthon	74.5	14.2

表 1: 主要ルーチンの時間コスト

ここで、charsw は球面波における電荷計算、forcex はエネルギー汎関数の波動関数による微分計算、orthon は計算で得られた波動関数の正規直交化をそれぞれ行っている部分である。これらは外部反復内の計算であり、テスト用例題では 1 回限りの計算であるが、本来は 50 回以上繰り返されるべきものである。従って上記の 78.9% という値は実用データではより大きな値になるはずであり、上記 3 ルーチンの並列化に注力すればよいことが予想される。

4 並列化方針

第2章で述べた計算時間コストの高い上位3ルーチンのソースコードを付録に掲載する。注目すべきは全てのルーチンが $\text{do } 20 \text{ } k = 1, \text{nkpt}$ という粒度の大きい最外側ループを有することである。このループは第1章で述べたように、結晶中の状態を区別する波数 k に関するループであり、Kohn-Sham 方程式 (1) を異なる周期境界条件で解くことに由来する。この方程式は独立に解くことができ、従って $\text{do } 20 \text{ } k = 1, \text{nkpt}$ は原理的に並列化が可能なループである。そこで本研究では上記3ルーチンの $\text{do } 20 \text{ } k = 1, \text{nkpt}$ ループの並列化を中心に行い、他のルーチンにはできるだけ変更を加えないようにする。なぜなら後で述べるようにこのルーチンを並列化するだけで十分な性能向上が見込める上、必要以上のソース変更は予期せぬ精度低下やバグの混入を招きかねないためである。

nkpt は通常 10 以上 100 以下の値であり、またループ内の計算密度が高いことを考えると、CPU 数は比較的少数でも 1CPU の性能の高い並列ベクトルマシンがターゲットマシンとして有望である。このような観点から、共有メモリ型並列マシンに NEC SX-4 を、分散メモリ型並列マシンに富士通 VPP300 をターゲットマシンに採用した。

理想的に並列化された場合の性能を見積もると次のようになる。並列化率 (プログラムの全 CPU TIME における並列化可能部分の CPU TIME の比率) を R_p とおくと、プロセッサ数 N_p の時の加速率 P は次式で予測できる。

$$P = \frac{1}{1 - R_p + R_p/N_p} \quad (6)$$

本プログラムでは $R_p = 0.789$ なので、理想的には図2のような高速化がなされる。

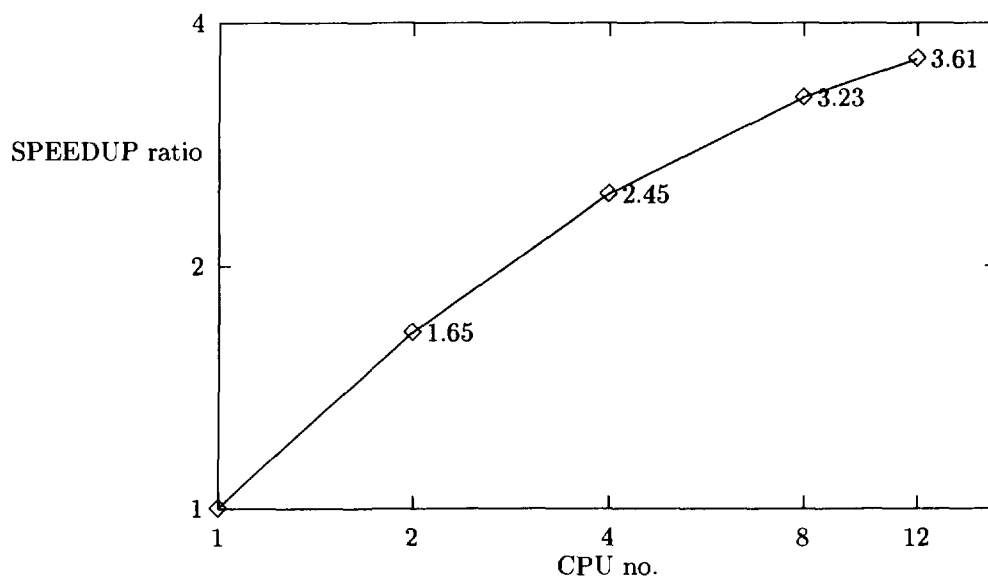


図 2: CPU 台数と加速率の関係

原理的に並列化可能とはいえ、実際にプログラムを並列化するのは困難かつデリケートな作業である。また性能の良い並列化プログラムを開発するには、必然的に必要となる通信を如何に効率よく行うかが課題となる。それらはマシンの特性に大きく依存するので、詳細は第5章と第6章でそれぞれ述べることにする。

最後に今回並列化される3ルーチン以外について、若干のコメントを加える。それらのルーチンは次のように分類される。

1. 外部ループ外にあるルーチン
2. 外部ループ内にある原理的に並列化が可能なルーチン
3. 外部ループ内にある原理的に並列化が不可能なルーチン

1.にはファイル入出力ルーチンや波動関数および有効ポテンシャルの初期状態を作成するルーチンがある。これらのルーチンは1回しか呼ばれないので、余程計算時間を消費しない限り無理に並列化する必要はない。外部反復を1回に制限したテスト用データで、この部分の消費時間は全計算時間の20%以下だったので、本研究では並列化しなかった。

2.についてはまだ議論の余地がある。たとえば charpw という平面波における電荷計算ルーチンがあるが、 charsw とほぼ同様な手法で並列化が可能はずである。しかし charpw の計算時間は14sec と charpw の1/10以下であり、今回は並列化しなかった。

本プログラムは全体で約1万6千行あり、そのうち上記3ルーチンは合計で約700行である。つまり全体の5%に満たない部分が計算時間の80%近くを消費している。従ってコストパフォーマンスの面からみて、まず3ルーチンの並列化に集中すべきであると判断した。

5 SX-4での並列化

5.1 SX-4の特徴

SX-4には次のような特徴がある [3]。

- 当センターのSX-4は3ノード構成となっている。1ノードは2個のCPUと512MBのメモリおよび1GBのXMU(後述)からなる。
- 1ノード内の並列化は共有メモリ型であり、ノード間の並列化は分散メモリ型である。
- ノード内は並列化指示行を用いるマイクロタスクもしくはSX固有の並列化システムルーチンを用いるマクロタスクで並列化される。一方、ノード間にまたがる並列化にはMPIを使用する。本研究では比較的並列化が容易で性能のでやすいマイクロタスクによる並列化を試みる。
- マイクロタスクにおいて並列実行するのは、実際に並列化DOループ等を含むルーチン単位。つまり、charsw forcex orthon は並列実行(冗長実行部も含む)するが、それ以外のルーチン(メインルーチン等)は逐次実行(1CPUのみによる実行)する。(注意 冗長実行ではない!!)
- 変数はstatic領域にとられる変数(common文やsave文に現れる変数 並列化ルーチンの仮引数の変数)とstack領域にとられる変数(上記以外)に大別される。static領域変数は並列プロセス数に関係なく1個しかないが、stack領域変数は並列化プロセス数だけあり、プロセスごとに異なる値をとる。
- 並列実行部分でのファイルI/Oは順番が保証されない。

5.2 並列化方法

上記の特徴から以下のような作業を行った。

- SX-4にはXMU(eXtended Memory Unit)と呼ばれる高速半導体ディスクが存在する。そのためプログラムをXMU上で実行するようにした。その結果CPU TIMEにはあまり変化がなかったが、経過時間(elapse time)が812secから525secと、287secの高速化が図られた。
- オリジナルのプログラムでは作業領域を節約するため、作業用の変数をcommonでとっていた。しかしそれでは作業変数がstatic領域にとられてしまい、各CPUが1つしかない作業変数を勝手に書き換えてしまう。そのため作業用変数はすべてdimension文で書き換え、stack領域にとるようにした。
- charswで全エネルギーを計算するために、各プロセッサで得られたエネルギーの総和計算(GLOBAL SUM)を計算する必要がある。そこでstatic領域に新たな変数を確保し、各プロセスで得られたエネルギー値(stack変数)をstatic変数に足し込むように変更した。
- オリジナルのcharswの並列化ループ内にファイル出力用ルーチンtop5prがあった。従ってそのまま並列化すると出力順序が保証されず、結果ファイルが不正となる。そこでstatic領域に出力用の配列を確保し、一旦そこに格納した後、1CPUから出力するように変更した。

(新 charsw)

```

23 cGENKEN Modify
24 c      real*8 cmp(0:lup,ntype)
25      common/gkcom3/cmp(0:lup,ntype,nemax,nkmax,nsp) ←ファイル出力用
26 cGENKEN Modify                                static 変数
                (中略)
43 cGENKEN Modify
44 c      common/cwork1/ylmk(nbase,lmmx),exkr(nbase,nsite),
45 c      &          p(lmmx,nsite),q(lmmx,nsite),
46 c      &          t(nrad,lmmx,nsite),u(nrad,lmmx,nsite),
47 c      &          aln(nbase,0:lup,ntype,nsp),
48 c      &          bln(nbase,0:lup,ntype,nsp),
49 c      &          sjlnr(nbase,nrad,0:lup,mstype)
50      dimension  ylmk(nbase,lmmx),exkr(nbase,nsite), ← stack 領域
51      &          p(lmmx,nsite),q(lmmx,nsite),
52      &          t(nrad,lmmx,nsite),u(nrad,lmmx,nsite),
53      &          aln(nbase,0:lup,ntype,nsp),
54      &          bln(nbase,0:lup,ntype,nsp),
55      &          sjlnr(nbase,nrad,0:lup,mstype)
56 c
57      common/gkcom1/elcsum(0:lup,ntype,nsp) ← 総和計算用 static 変数
58 cGENKEN Modify
                (中略)
75 *pdir serial                                ← 逐次実行するための指示行
76      if(lprint.gt.0) then
77          if(mod(loop,lprint).eq.0) then
78              write(6,'( ' ==== charsw ' '
79              &          /' top 5 components of wavefunctions ' '
80              &          /'   k sp band      eps ' ' ' '
81          endif
82      endif
83 *pdir endserial
84 cGENKEN Modify
85 *pdir pardo                                ← 並列実行するための指示行
86      do 20 k=1,nkpt
87          call mkylmk(k,ylmk)
                (中略)
133 c      if(lprint.gt.0) then
134 c      if(mod(loop,lprint).eq.0) then
135 c      call top5pr(is,k,ie,eps(ie,k,is),cmp) ← ここで出力
136 c      endif                                すると順序が
137 c      endif                                保証されない
138      endif
139      30 continue
140      20 continue

```

```

141 c
142 cGENKEN Modify
143 *pdir critical          ← 排他的に実行するための指示行
144     do kk=1,nsp         各 stack の elc を static 変数 elcsum に足し
145     do jj=1,ntype       総和をとる 排他的に行わないと結果不正
146     do ii=0,lup        になる
147         elcsum(ii,jj,kk) = elcsum(ii,jj,kk) + elc(ii,jj,kk)
148     enddo
149     enddo
150     enddo
151 *pdir endcritical
152 *pdir serial          ← 逐次実行するための指示行 ファイル出力は 1PE から
153     if(lprint.gt.0 .and. mod(loop,lprint).eq.0) then      のみ行う
154     do 21 k=1,nkpt
155     do 31 is=1,nspin
156     do 32 ie=1,ne
157         if(abs(wei(ie,k,is)).gt.1.d-12) then
158             call top5pr(is,k,ie,eps(ie,k,is),
159             &                cmp(0,1,ie,k,is))
160         endif
161     32         continue
162     31         continue
163     21         continue
164     endif

```

(中略)

```

187 cGENKEN Modify
188 c     call elecpr(nspin,elc)
189     call elecpr(nspin,elcsum) ← 総和値は elcsum に入っている
190     call chaspr(nspin,'ror',ror)
191     endif
192     endif
193 *pdir endserial      ← 逐次実行の終了を指示する指示行

```

(*pdir critical をいれないと、elcsum が正しい値にならない)

- forcex では各プロセス毎の変数の総和計算が必要なので、static 変数を新たに確保し、最後にプロセス間で総和をとるようにした。

(新 forcex)

```

83     common/gkcom2/fmsum(3,nsite),fm0sum(3,nsite) ← 総和計算を行う
                                                    ための static 変数
                                                    (中略)
111 cGENKEN Modify
112     do ita=1,nsite          ← static 変数の初期化
113         fmsum (1,ita)=0.d0
114         fmsum (2,ita)=0.d0
115         fmsum (3,ita)=0.d0

```

```

116      fm0sum(1,ita)=0.d0
117      fm0sum(2,ita)=0.d0
118      fm0sum(3,ita)=0.d0
119      enddo
120 *pdir pardo
121 cGENKEN Modify
122 c
123      do 20 k=1,nkpt          ← 並列化ループ
                                (中略)
266      20 continue
277 cGENKEN Modify
278 *pdir critical          ← 各プロセスの stack 変数を static 変数に排他的に
279      do ita=1,nats      たしこむ
280          fmsum (1,ita) = fmsum (1,ita) + fm (1,ita)
281          fmsum (2,ita) = fmsum (2,ita) + fm (2,ita)
282          fmsum (3,ita) = fmsum (3,ita) + fm (3,ita)
283          fm0sum(1,ita) = fm0sum(1,ita) + fm0(1,ita)
284          fm0sum(2,ita) = fm0sum(2,ita) + fm0(2,ita)
285          fm0sum(3,ita) = fm0sum(3,ita) + fm0(3,ita)
286      enddo
287 *pdir end critical
288 *pdir serial          ← このルーチンの最後まで逐次実行
289      do ita=1,nats
290          fm (1,ita) = fmsum (1,ita) ← 総和値を stack 変数にコピー
291          fm (2,ita) = fmsum (2,ita)

```

5.3 性能測定結果

当センターの SX-4 で性能測定を行った。結果は表 2 の通りであった。なお各ルーチンの elapse time 計測には `etime()` システム関数を用い、占有状態で計測した。

	オリジナルの cpu time	2CPU 並列時の elapse time	加速率
TOTAL	524.7 sec	327.8 sec	1.60
charsw	173.3 sec	87.8 sec	1.97
forcex	166.0 sec	86.4 sec	1.92
orthon	74.5 sec	38.1 sec	1.96

表 2: 時間コストおよび並列化効果

5.4 考察

計測結果をみると、各ルーチンは 2CPU 並列時で 1.9 倍以上の加速率が得られている。また全体でも 1.60 倍の加速率が得られている。第 5 章で述べたように、本プログラムの 2 並列の場合の理想加速率は 1.65 倍なので、この数値は満足すべきものといえる。

本来ならばより多くの CPU を用いて並列化効果を系統的に調査すべきであろう。しかし当センターの SX-4 の構成はメモリを共有できる CPU 数は 1 ノード内の 2CPU のみである。他ノードの CPU を使用するには MPI でプログラムを全面的に書き換える必要があり、その工数はマイクロタスクによる並列化の比ではない。これらの理由によりこれ以上の並列化は、ここではあきらめざるをえない。

最後に自動並列化について一言記しておく。共有メモリ型並列化の大きなメリットの一つに自動並列化が比較的容易にサポートできることがある。SX-4 においてもマイクロタスクによる自動並列化がサポートされている。これは fopp(Fortran Optimizing PreProcessor) と呼ばれるプリプロセッサが do ループレベルの並列性を抽出し、マイクロタスクによる並列化プログラムを生成するものである。この機能によるとユーザは並列化の概念や指示行についての知識無しで、容易に自分のプログラムを並列化できる。従ってユーザの負担を軽減すると言う意味で非常に有力である。ただし自動並列化できるのは単純な do ループに限られ、ループ内でサブルーチンをコールしている場合は自動並列化できない。本研究で並列化されるループ内には多数のサブルーチンコールがあったため、自動並列化は当初から断念せざるを得なかった。

6 VPP300 での並列化

6.1 VPP300 の特徴

VPP300 には次のような特徴がある [4]。

- 分散メモリ方式であり、各 PE(Processing Element) は 1 個の CPU と 512MB のメモリからなる。
- 並列プログラムは逐次実行部分 (1PE で実行)、冗長実行部分 (複数の PE で同一の内容を実行)、並列実行部分 (複数の PE で異なる内容を実行) に大別される。
- parallel region で囲まれた部分は冗長実行部分もしくは並列実行部分であり、それ以前の逐次実行部分の変数は parallel region の最初で各 PE にコピーされる。
- ファイル出力は冗長実行部では 1PE の出力のみであり、並列実行部では全 PE から出力されるが順序は保証されない。
- ファイル入力は冗長実行部では逐次プログラムと同様に動作し全 PE に反映される。一方並列実行部分では各々の PE への入力が有効だが、入力順序を保証するにはコーディングを工夫する必要がある。

6.2 UNIFY 手法

分散メモリ型の並列化の場合、各 PE にどのように変数を割り当てるかが問題となる。データを分割して各 PE に受け持たせる方法は非常に大きなメモリを利用できる利点があるが、その反面プログラム全体を把握しかつ大幅に書き換えなければならず、非常に困難である。一方 VPP300 は 1PE に 512MB という比較的大きなメモリを有しており、通常の場合、全データを 1PE 内に保有できる。そこで今回はデータ分割はせず、並列計算のみを行う並列化手法 (UNIFY 手法)[5]を採用した。これは並列実行直後に全 PE の配列の中身を各 PE 間の総和計算 (GLOBAL SUM) により同一にし、その後は全 PE で同一の計算を冗長に実行するという手法である。この手法のメリットは並列化によるプログラムの変更を局所化できることである。いいかえれば並列化する部分以外のプログラムをみる必要がない。

UNIFY 手法を説明するために、次のような簡単な DO ループを考える。

```
do i = 1,100
  a(i) = b(i)*c(i)
enddo
```

これを VPP300 の指示行を用いて UNIFY 手法により並列化すると次のようになる。

```
do i = 1,100          ← 全 PE の配列 a を 0 クリア ... (1)
  a(i) = 0.0
enddo
!xocl xocl spread do ← 並列実行のための指示行 ... (2)
do i = 1,100
  a(i) = b(i)*c(i)
enddo
!xocl end spread sum(a) ← 各 PE の a(i) の総和を計算し全 PE の a(i) に反映させる
... (3)
```

4PE の場合について図示すると次のようになる。

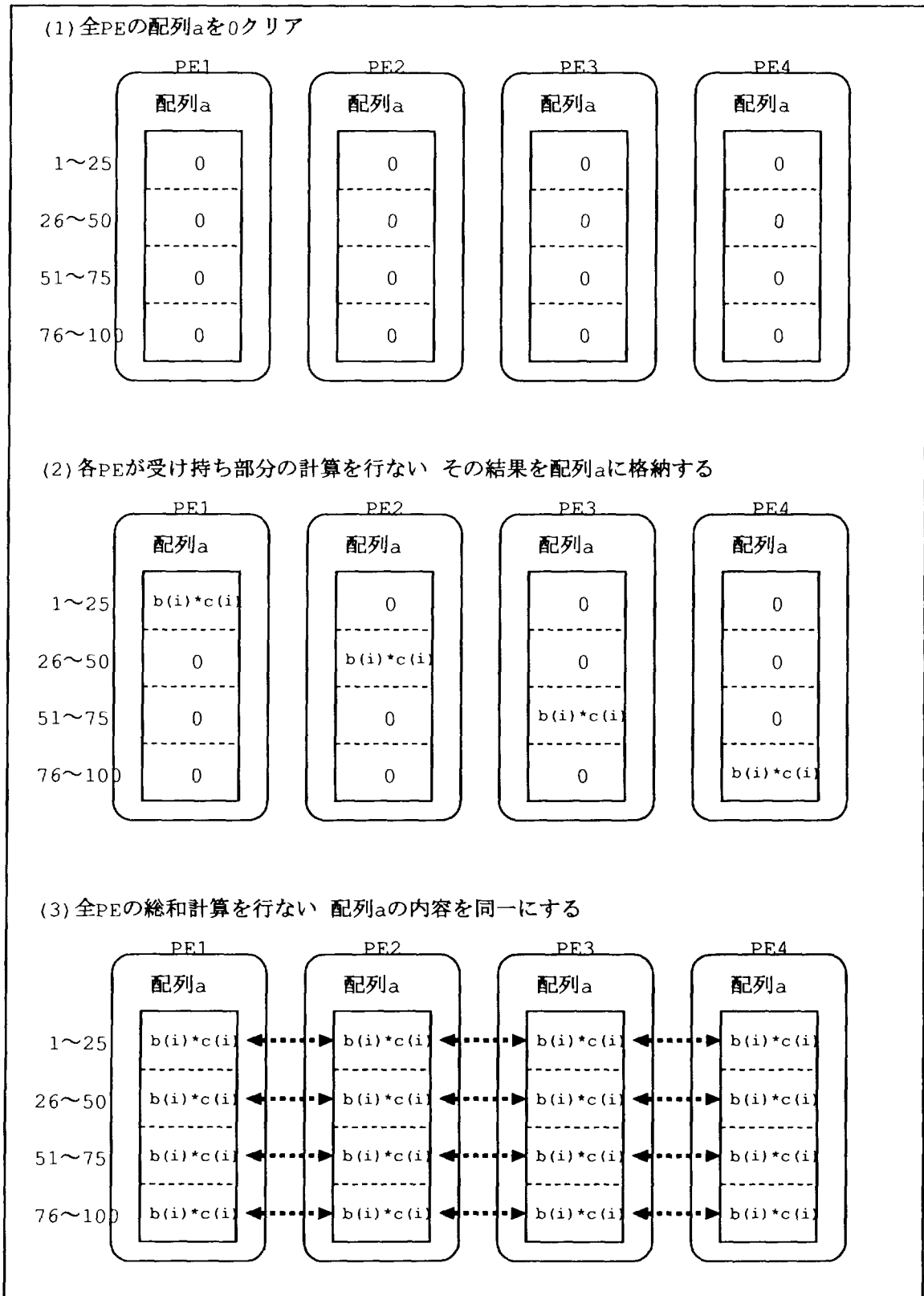


図 3: UNIFY 手法の実現方式

6.3 並列化方法

上記の特徴から、以下のような作業を行った。

- 高コスト 3 ルーチンの `do 20 k=1,nkpt` に対し UNIFY 手法による並列化を行った。
- `charsw` では `do 20 k=1,nkpt` の内部に配列 `cmp` の出力ルーチン `top5pr` があった。従ってそのまま並列化したのでは出力順序が保証されない。そこで配列 `cmp` を大きくした上でループ内では出力せずに配列に格納するだけとし、ループ外の冗長実行部分で出力するようにした。

(新 `charsw`)

```

22  cGENKEN Modify
23  c      real*8 cmp(0:lup,ntype)
24      real*8 cmp(0:lup,ntype,nemax,nkmax,nsp)
           (中略)
47      common/cprint/lprint,ngpr,incr,incr0
48  cGENKEN Modify
49  !xocl subprocessor sp(:)
           (中略)
70  cGENKEN Modify      ←大きくした配列をループ外で0クリア
71      do mmm = 1,nsp
72          do lll = 1,nkmax
73              do kkk = 1,nemax
74                  do jjj = 1,ntype
75                      do iii = 0,lup
76                          cmp(iii,jjj,kkk,lll,mmm) = 0.d0
77                      enddo
78                  enddo
79              enddo
80          enddo
81      enddo
82  !xocl spread do      ←並列実行
83      do 20 k=1,nkpt
84          call mkylnk(k,ylmk)
85          call mkexkr(k,exkr)
           (中略)
124  cGENKEN Modify
125  c      cmp(1,it)=cmp(1,it)/vol/natom(it)
126  c      elc(1,it,is)=elc(1,it,is)+(2.d0/nspin)*wei(ie,k,is)
127  c      &                *cmp(1,it)
128      cmp(1,it,ie,k,is)=cmp(1,it,ie,k,is)/vol/natom(it)
129      elc(1,it,is)=elc(1,it,is)+(2.d0/nspin)*wei(ie,k,is)
130      &                *cmp(1,it,ie,k,is)
131      52      continue
132  cGENKEN Modify      ←並列ループ内での出力は順序が不定
133  c      if(lprint.gt.0) then
134  c      if(mod(loop,lprint).eq.0) then

```

```

135 c          call top5pr(is,k,ie,eps(ie,k,is),cmp)
136 c          endif
137 c          endif
138          endif
139          30  continue
140          20  continue
141 !xocl end spread sum(elc),sum(ror),sum(cmp) ←各 PE で計算した値の総和
142 c
143 cGENKEN Modify          ←ループ外の冗長実行部分で cmp をファイル出力
144          if(lprint.gt.0 .and. mod(loop,lprint).eq.0) then
145              do 21 k=1,nkpt
146                  do 31 is=1,nspin
147                      do 32 ie=1,ne
148                          if(abs(wei(ie,k,is)).gt.1.d-12) then
149                              call top5pr(is,k,ie,eps(ie,k,is),
150                                  &          cmp(0,1,ie,k,is))
151                              endif
152                          32  continue
153                          31  continue
154                          21  continue
155                      endif

```

- orthon における do 20 k=1,nkpt では配列 cnn に対し schmidt の正規直交化を行っており、cnn のアップデート計算をしている。従って cnn を 0 クリアするわけにはいかない。そこで cnn を各 PE で計算した後ワーク領域 cnntmp にコピーし、cnntmp に対して総和計算を行い、その結果を cnn に戻すことにした。
- 上記以外のファイル出力は冗長実行部分にあったので、なんの変更も必要なかった。

(新 orthon)

```

43 cGENKEN Modify
44 !xocl subprocessor sp(:)
45          complex*16 cnntmp(nbase,nkmax) ←総和計算用ワーク領域
46 c
47          if(dt(loop).le.0.d0) return
48 c
49          tpi=8.d0*atan(1.d0)
50          fpi=tpi+tpi
51          vol=abs(deter3(brmt))
52          vi=1.d0/vol
53 c
54 cGENKEN Modify
55 !xocl spread do          ←並列計算
56          do 20 k=1,nkpt
57              call mkylmk(k,ylmk)
58              call mkexkr(k,exkr)

```

```

59      call mkabl(nspin,k,aln,bln)
60      call mkjln0(k,sjlnr)
          (中略)

132    20 continue
133  cGENKEN Modify
134  !xocl end spread
135      do ll=1,nsp
136          do jj=1,nemax
137              do k=1,nkpt
138                  do ii=1,nbase
139                      cnntmp(ii,k) = 0.d0    ←ワーク領域の0クリア
140                  enddo
141              enddo
142  !xocl spread do          ←計算した部分の cnn を cnntmp にコピー
143              do k = 1,nkpt
144                  do ii=1,nbase
145                      cnntmp(ii,k) = cnn(ii,jj,k,ll)
146                  enddo
147              enddo
148  !xocl end spread sum(cnntmp) ← cnntmp の総和計算
149              do k = 1,nkpt    ← cnntmp を cnn に戻す
150                  do ii=1,nbase
151                      cnn(ii,jj,k,ll) = cnntmp(ii,k)
152                  enddo
153              enddo
154          enddo
155      enddo
156  c
157      return
158      end

```

6.4 性能測定結果

当センターの VPP300 で性能測定を行った。結果は表 3 及び図 4 の通りであった。なお各ルーチンの elapsed time 計測には gettod() システム関数を用い、占有状態で計測した。本プログラムの並列化対象部分は 78.7 % であり、(6) 式に従って理想加速率を算出している。

	1PE	4PE	8PE	12PE
TOTAL	512.3(1.00)	244.4(2.10)	200.8(2.55)	183.1(2.80)
charsw	164.4(1.00)	42.7(3.85)	24.1(6.82)	15.0(10.96)
forcex	191.3(1.00)	45.4(4.21)	26.9(7.11)	16.0(11.96)
orthon	47.5(1.00)	12.4(3.83)	7.1(6.69)	4.4(10.80)

表 3: 時間コストおよび並列化効果 (テスト用データ) sec(ratio)

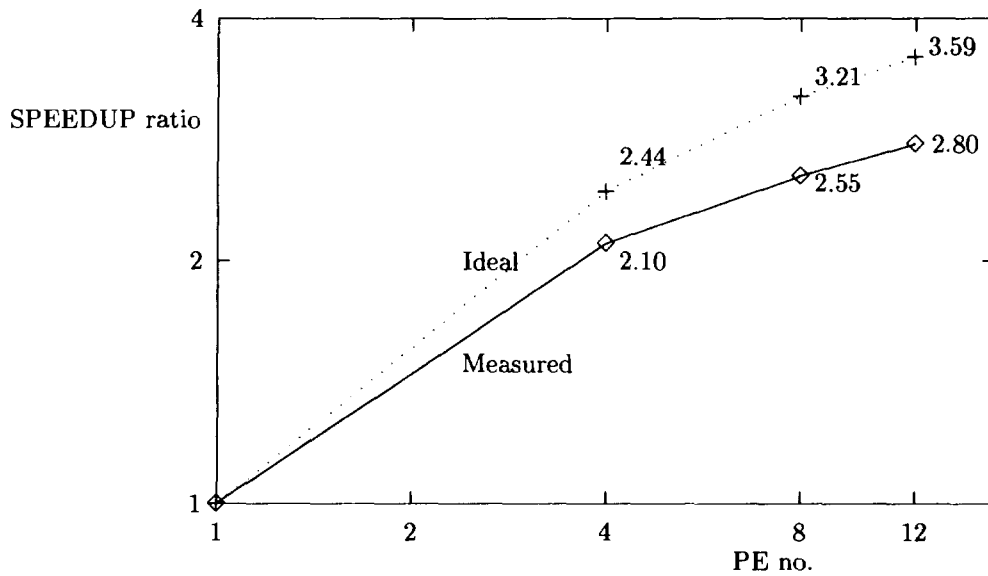


図 4: PE 数と加速率の関係 (理想値と実測値)

今までの測定結果はテスト用入力データによるものであったが、実用入力データを用い外部反復を 50 回にして計測を行った。その結果を以下に記す (表 4 及び図 5 参照)。このデータにおける並列化率は 87.1 % である。

	1PE	4PE	8PE	12PE
TOTAL	23291(1.00)	7943(2.93)	5824(4.00)	4686(4.97)
charsw	8259(1.00)	2107(3.92)	1190(6.94)	721(11.45)
forcex	9598(1.00)	2271(4.22)	1347(7.13)	800(12.00)
orthon	2438(1.00)	622(3.92)	356(6.85)	222(10.98)

表 4: 時間コストおよび並列化効果 (実用データ) sec(ratio)

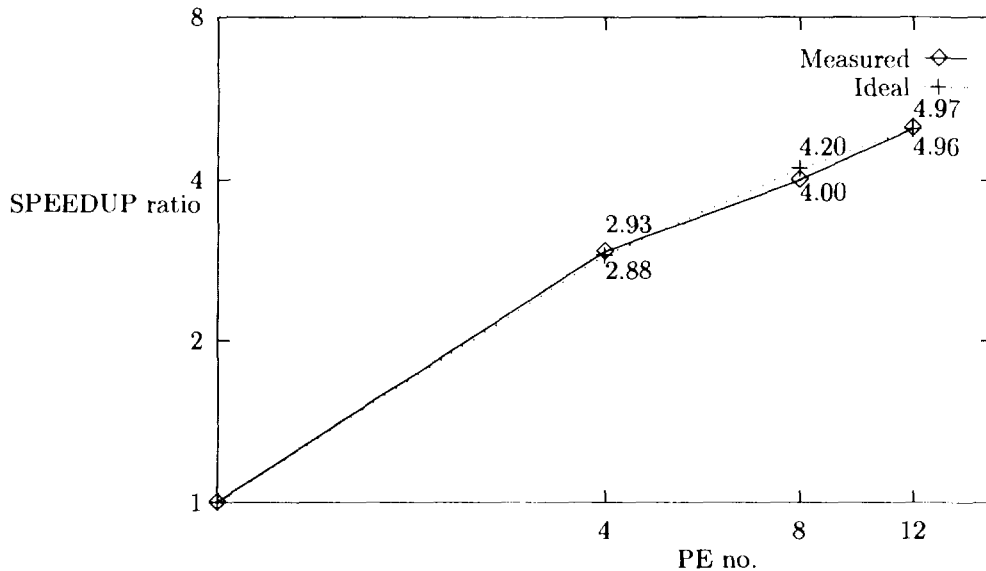


図 5: PE 数と加速率の関係 (理想値と実測値)

6.5 考察

測定結果をみると実用データの場合は、理想的な加速率が得られているといえる。本プログラムが原理的に並列性が高く、通信量が最小限に抑えられているためと考えられる。特に forcex は通信が極めて少ないため、他の 2 ルーチンよりも良い性能が得られている。

一方テスト用データにおいては、測定値が理想値にほど遠い。最初に考えられる原因は通信コストである。VPP には MPA (Moving Performance Analyzer) と呼ばれる通信コスト調査ツールがサポートされており、容易に並列プログラム実行時に消費された通信時間を測定することができる。これを用いて通信時間を測定したところ、ほとんど無視できる程度の時間であることが分かった。たとえば 4PE で通信パケットを送っている時間は、わずか 0.43 秒であった。従って上記性能低下は他に原因がある。

そこで全ルーチンの消費時間を測定し直した。その結果、writ18 というバイナリデータ出力ルーチンにおいて、非並列プログラムでは約 25 秒であったのが並列プログラムでは約 50 秒と、経過時間が倍増していることが分かった。幸いこのルーチンは外部ループ外にあったので、この部分をパラレルリージョン外に移して、再度測定しなおした。(表 5 及び図 6 参照)。

	1PE	4PE	8PE	12PE
TOTAL	512.3(1.00)	223.5(2.29)	178.3(2.87)	159.5(3.21)
writ18	24.9(1.00)	28.8(0.86)	27.6(0.90)	27.4(0.91)

表 5: 時間コストおよび並列化効果 (改良版) sec(ratio)

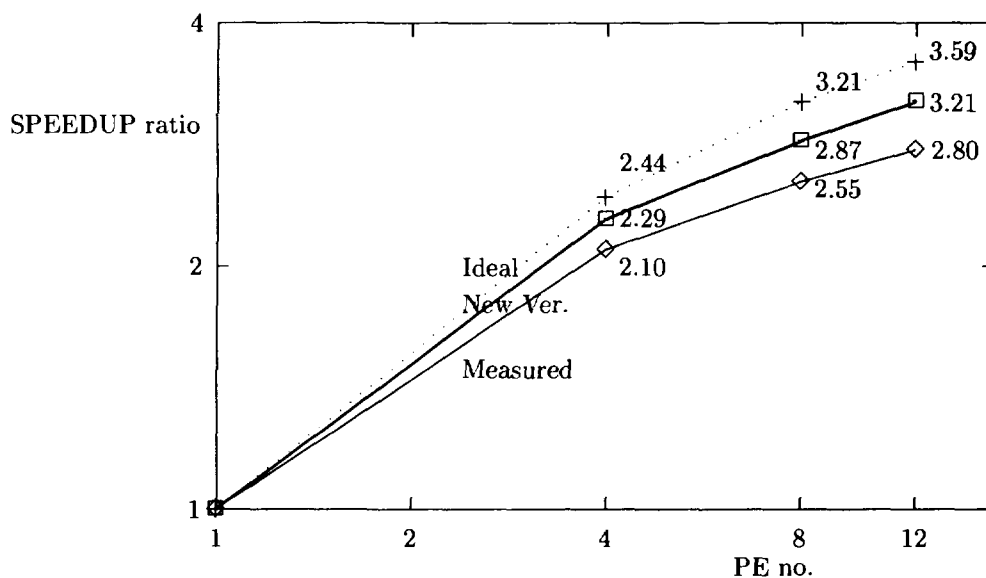


図 6: PE 数と加速率の関係 (理想値と実測値)

上記の図およびグラフから、新ルーチンの加速率がかなり改善されてことがわかる。実は並列化作業の初期の段階で、バイナリデータ入力ルーチンに関しても同様の問題が生じていた。その時はそのルーチンに非常に時間がかかっていたので (非並列の場合の数十倍!!) 問題点がすぐに明らかになり、早急に対策をとることができた。一方 writ18 に関しては、目立たない程度のオーバーヘッドだったため発見が遅れたといえる。

このように、パラレルリージョン内のファイル入出力は十分に注意すべきであることが分かる。理想的にはパラレルリージョン内では計算のみに専念し、ファイル入出力は行わないことが望ましい。

7 まとめ

今回の並列化作業において SX-4 では現環境の制約で 2 並列でのみの実行となった。2 並列での加速率は 1.60 倍とほぼ妥当な値が得られたが、より CPU 数が多い場合どのような性能を示すかは未知である。いずれ機会をみて系統的な性能測定を試みたい。

一方、VPP300 では 12PE 使用で最大 4.97 倍の加速率が得られた。これは並列化率を考えると理想的な値といえる。また分散メモリ型の並列化に有力と思われる UNIFY 手法について説明した。本手法は並列化における変更を局所化できるので、プログラム全体をみる必要がなく、プログラムの負担は大幅に軽減する。反面、全 PE が常に全部の配列を保持する必要があるため、分散メモリ型並列マシンの大きな長所である PE 数に比例したメモリ容量が有効に利用できない。従って今後の課題として、配列を各 PE に分割することにより、大規模計算を可能とする並列化コードの開発があげられる。

本報告では第一原理電子状態計算プログラムの共有メモリ型及び分散メモリ型マシン用の並列化について、やや細かいと思われることまで記述した。それは第 1 章でも述べたように、従来はあまり語られてこなかった”泥臭い”ノウハウの蓄積と共有が、並列計算の普及に不可欠と信じるからである。本報告が並列計算を志す研究者やプログラマに少しでも役立つことを祈念してやまない。

謝 辞

日本原子力研究所 計算科学技術推進センター 並列処理支援技術開発グループ折居茂夫氏には VPP300 の並列化手法やツールの利用方法等の多岐にわたり、多くの助言を頂きました。この場を借りて感謝致します。

参考文献

- [1] T. OGUCHI and T. SASAKI, Density-Functional Molecular-Dynamics Method Progress of Theoretical Physics Supplement No. 103 ,93 (1991).
- [2] H. Krakauer, M. Posternak and A.J. Freeman, Phys. Rev. B 19 ,1706 (1979).
- [3] Super-UX FORTRAN90/SX プログラミングの手引き
- [4] UXP/V Fortran90/VPP 使用手引書
- [5] 折居茂夫, 大田敏郎 分子動力学コードの段階的並列化手法 JAERI-Data/Code 96-023

付録 オリジナルソース

```

(charsw)
1  c---- charsw
2  c construction of charge density with spherical wave form
3  c   ror : spherical part of charge density from psi and  $\bar{\psi}$ 
4  c
5      subroutine charsw(nspin,eps,wei,cnn,ror,loop)
6      implicit real*8 (a-h,o-z)
7      parameter (nbase=1499)
8      parameter (nemax=50,nkmax=36)
9      parameter (ntype=4,nsite=7,mstype=2,nrad=401,nrad0=61)
10     parameter (nsp=1)
11     parameter (lup=2,lmax=(lup+1)**2)
12     parameter (c=274.074d0)
13  c
14     complex*16 cnn(nbase,nemax,nkmax,nsp)
15     real*8 eps(nemax,nkmax,nsp)
16     real*8 wei(nemax,nkmax,nsp)
17  c
18     real*8 ror(nrad,ntype,nsp)
19  c
20     complex*16 ylmk,exkr,p,q,t,u
21     complex*16 phi1,phi2
22  c
23     real*8 cmp(0:lup,ntype)
24     real*8 elc(0:lup,ntype,nsp)
25  c
26     common/cbasis/brmt(3,3)
27     common/ckpvec/ak(3,nkmax),wk(nkmax),nkpt
28     common/cpwind/indpw(3,nbase,nkmax)
29     common/csizes/npw(nkmax),ne
30     common/catoms/zval(ntype),idmsh(ntype),natom(ntype),lmax,nttp
31     common/cradii/radmt(mstype),xstep(mstype),
32     &      nrd(mstype),nrd0(mstype),mstp
33     common/crdfun/pfun(nrad,0:lup,ntype,nsp),
34     &      qfun(nrad,0:lup,ntype,nsp)
35     common/crefun/pefun(nrad,0:lup,ntype,nsp),
36     &      qefun(nrad,0:lup,ntype,nsp)
37     common/casfun/pf(0:lup,ntype,nsp),dpf(0:lup,ntype,nsp),
38     &      pef(0:lup,ntype,nsp),dpef(0:lup,ntype,nsp),
39     &      penorm(0:lup,ntype,nsp),wronsk(0:lup,ntype,nsp)
40     common/cwork1/ylmk(nbase,lmax),exkr(nbase,nsite),
41     &      p(lmax,nsite),q(lmax,nsite),
42     &      t(nrad,lmax,nsite),u(nrad,lmax,nsite),
43     &      aln(nbase,0:lup,ntype,nsp),
44     &      bln(nbase,0:lup,ntype,nsp),
45     &      sjlnr(nbase,nrad,0:lup,mstype)
46     common/cprint/lprint,ngpr,incr,incr0
47  c
48     vol=abs(deter3(brmt))
49     fpi=16.d0*atan(1.d0)
50     lmm=(lmax+1)**2
51     do 10 is=1,nsp
52     do 10 it=1,ntype
53     do 12 ir=1,nrad
54     ror(ir,it,is)=0.d0
55     12 continue
56     do 14 l=0,lup
57     elc(l,it,is)=0.d0
58     14 continue
59     10 continue
60     if(lprint.gt.0) then
61     if(mod(loop,lprint).eq.0) then
62     write(6,('==== charsw'
63     &      /' top 5 components of wavefunctions'

```

```

64      &          /' k sp band eps'')
65      endif
66      endif
67      do 20 k=1,nkpt
68          call mkylmk(k,ylmk)
69          call mkexkr(k,exkr)
70          call mkabln(nspin,k,aln,bln)
71          call mkjlnr(k,sjlnr)
72          do 30 is=1,nspin
73              do 30 ie=1,ne
74                  if(abs(wei(ie,k,is)).gt.1.d-12) then
75                      call mkpqt1(is,k,ie,cnn,ylmk,exkr,aln,bln,sjlnr,p,q,t)
76                      do 50 it=1,nttp
77                          do 50 l=0,lmax
78                              cmp(l,it)=0.d0
79          50      continue
80                          ita=0
81                          do 60 it=1,nttp
82                              do 60 ia=1,natom(it)
83                                  ita=ita+1
84                                  im=idmsh(it)
85                                  lm=0
86                                  do 62 l=0,lmax
87                                      do 62 m=-l,l
88                                          lm=lm+1
89                                          do 64 ir=1,nrd(im)
90                                              phi1= p(lm,ita)*pfun(ir,l,it,is)
91          &          +q(lm,ita)*pfun(ir,l,it,is)
92          &          phi2= p(lm,ita)*qfun(ir,l,it,is)
93          &          +q(lm,ita)*qfun(ir,l,it,is)
94          &          ror(ir,it,is)=ror(ir,it,is)
95          &          +wei(ie,k,is)*((abs(phi1)**2+abs(phi2)**2)
96          &          -abs(t(ir,lm,ita)**2)
97          64      continue
98          &          cmp(l,it)=cmp(l,it)+abs(p(lm,ita)**2
99          &          +abs(q(lm,ita)**2)*penorm(l,it,is)
100         62      continue
101         60      continue
102         do 52 it=1,nttp
103             do 52 l=0,lmax
104                 cmp(l,it)=cmp(l,it)/vol/natom(it)
105                 elc(l,it,is)=elc(l,it,is)+(2.d0/nspin)*wei(ie,k,is)
106             &          *cmp(l,it)
107         52      continue
108             if(lprint.gt.0) then
109                 if(mod(loop,lprint).eq.0) then
110                     call top5pr(is,k,ie,eps(ie,k,is),cmp)
111                 endif
112             endif
113         endif
114     30      continue
115     20      continue
116 c
117     f=(2.d0/nspin)/vol/sqrt(fpi)
118     do 70 is=1,nspin
119         do 70 it=1,nttp
120             do 72 ir=1,nrad
121                 ror(ir,it,is)=ror(ir,it,is)*f/natom(it)
122             72      continue
123         70      continue
124 c make ror as charge and spin density array
125     if(nspin.eq.2) then
126         do 80 it=1,nttp
127             do 82 ir=1,nrad
128                 char=ror(ir,it,1)+ror(ir,it,nspin)
129                 spin=ror(ir,it,1)-ror(ir,it,nspin)

```

```

130         ror(ir, it, 1) = char
131         ror(ir, it, nspin) = spin
132     82 continue
133     80 continue
134 endif
135 c
136     if(lprint.gt.0) then
137         if(mod(loop, lprint).eq.0) then
138             call elecpr(nspin, elc)
139             call chaspr(nspin, 'ror', ror)
140         endif
141     endif
142     return
143     end

```

(forcex)

```

1 c---- forcex
2 c
3     subroutine forcex(nspin, wei, cnn, vcg, vtg, vtr0, rpa, fcn, foa, eps, loop)
4     implicit real*8 (a-h, o-z)
5     parameter (nbase=1499)
6     parameter (nemax=50, nkmax=36)
7     parameter (ntype=4, nsite=7, mstype=2, nrad=401, nrad0=61)
8     parameter (nsp=1)
9     parameter (lup=2, lmax=(lup+1)**2)
10    parameter (ng1max=7)
11    parameter (ng2max=7)
12    parameter (ng3max=61)
13    parameter (nbaseg=13999)
14    parameter (nstars=3999)
15    complex*16 cnn (nbase, nemax, nkmax, nsp)
16    complex*16 fcn (nbase, nemax, nkmax, nsp)
17    complex*16 vcg (nbaseg)
18    complex*16 vtg (nbaseg, nsp)
19    complex*16 rpa (nbaseg, nsite)
20    real*8 wei (nemax, nkmax, nsp)
21    real*8 eps (nemax, nkmax, nsp)
22    real*8 foa (3, nsite)
23 c
24    complex*16 smm (nemax, nemax)
25    complex*16 hmm (nemax, nemax)
26    complex*16 zmm (nemax, nemax)
27    complex*16 smt (nbase)
28    complex*16 hmt (nbase)
29    complex*16 samt (nbase, nsite), hamt (nbase, nsite)
30    complex*16 samt0 (nbase, nsite), hamt0 (nbase, nsite)
31    complex*16 ss (nbase)
32    complex*16 ylmk, exkr, p, q, t, u
33    complex*16 aan, ban, wt, wu, sexp, hexp, cmt, cmt0, phagv
34 c
35    real*8 hr ((nemax*(nemax+1))/2)
36    real*8 hi ((nemax*(nemax+1))/2)
37    real*8 or ((nemax*(nemax+1))/2)
38    real*8 oi ((nemax*(nemax+1))/2)
39    real*8 zr (nemax, nemax)
40    real*8 zi (nemax, nemax)
41    real*8 work (nemax, 5)
42 c
43    real*8 vtr0 (nrad0, ntype, nsp)
44    real*8 rcmt (3, 3)
45    real*8 fog (3, nsite), fom (3, nsite), fom0 (3, nsite)
46    real*8 fm (3, nsite), fm0 (3, nsite)
47 c
48    common/cbasis/brmt (3, 3)

```

```

49      common/cspace/drot(3,3,48), taurot(3,48), invrot(48), nsym
50      common/cspatr/trmt(3,3,48)
51      common/csptau/itarot(48,nsite)
52      common/cpwgvt/phagv(nbaseg), lmgv(3,nbaseg), ngv
53      common/cpwsta/gv2(nstars),
54      &          lstgv(-ng1max:ng1max,-ng2max:ng2max,-ng3max:ng3max),
55      &          lingv(2,nstars), lgvrot(48,nstars), nst
56      common/ckpvec/ak(3,nkmax), wk(nkmax), nkpt
57      common/cpwind/indpw(3,nbase,nkmax)
58      common/csizes/npw(nkmax), ne
59      common/catoms/zval(nstype), idmsh(nstype), natom(nstype), lmax, nttp
60      common/cradii/radmt(mstype), xstep(mstype),
61      &          nrd(mstype), nrd0(mstype), mstp
62      common/cradwe/rval(nrad,mstype), rwei(nrad,mstype)
63      common/cradw0/rval0(nrad0,mstype), rwei0(nrad0,mstype)
64      common/csites/tau(3,nsite), nats
65      common/casfun/pf(0:lup,ntype,nsp), dpf(0:lup,ntype,nsp),
66      &          pef(0:lup,ntype,nsp), dpef(0:lup,ntype,nsp),
67      &          penorm(0:lup,ntype,nsp), wronsk(0:lup,ntype,nsp)
68      common/catome/ezr(0:lup,ntype,nsp)
69      common/cdiago/lldiag
70      common/cwork1/ylmk(nbase,lmax), exkr(nbase,nsite),
71      &          p(lmax,nsite), q(lmax,nsite),
72      &          t(nrad,lmax,nsite), u(nrad,lmax,nsite),
73      &          aln(nbase,0:lup,ntype,nsp),
74      &          bln(nbase,0:lup,ntype,nsp),
75      &          sjlnr(nbase,nrad,0:lup,mstype)
76      common/cpr int/lpr int,ngpr,incr,incr0
77 c
78      tpi=8.d0*atan(1.d0)
79      fpi=tpi+tpi
80      sfp=sqrt(fpi)
81      vol=abs(deter3(brmt))
82      vi=1.d0/vol
83      is=1
84      call rcpvec(rcmt)
85                                     call swatch(51,1,'force0 ')
86      call force0(vcg,rpa,fog)
87                                     call swatch(51,2,'force0 ')
88
89      do 10 ita=1,nsite
90          fom(1,ita)=0.d0
91          fom(2,ita)=0.d0
92          fom(3,ita)=0.d0
93          fom0(1,ita)=0.d0
94          fom0(2,ita)=0.d0
95          fom0(3,ita)=0.d0
96          fm(1,ita)=0.d0
97          fm(2,ita)=0.d0
98          fm(3,ita)=0.d0
99          fm0(1,ita)=0.d0
100         fm0(2,ita)=0.d0
100         fm0(3,ita)=0.d0
101     10 continue
102 c
103     do 20 k=1,nkpt
104         call swatch(52,1,'mkylmk ')
105         call mkylmk(k,ylmk)
106         call swatch(52,2,'mkylmk ')
107         call swatch(53,1,'mkexkr ')
108         call mkexkr(k,exkr)
109         call swatch(53,2,'mkexkr ')
110         call swatch(54,1,'mkabln ')
111         call mkabln(nspin,k,aln,bln)
112         call swatch(54,2,'mkabln ')
113         call swatch(55,1,'mkjlnr ')
114         call mkjln0(k,sjlnr)

```

```

115                                     call swatch(55,2,'mkjlnr  ')
116 do 21 is=1,nspin
117 do 22 ie=1,ne
118     weit=(2.d0/nspin)*wei(ie,k,is)
119                                     call swatch(56,1,'mat000  ')
120     call mat000(is,k,ie,cnn,vtg,smt,hmt)
121                                     call swatch(56,2,'mat000  ')
122                                     call swatch(57,1,'mkpqtu  ')
123     call mkpqtu(is,k,ie,cnn,ylmk,exkr,aln,bln,sjlnr,vtr0,
124 &         p,q,t,u)
125                                     call swatch(57,2,'mkpqtu  ')
126                                     call swatch(58,1,'do 30  ')
127     do 30 ita=1,nats
128     do 30 ipw=1,nbase
129         samt(ipw,ita)=0.d0
130         samt0(ipw,ita)=0.d0
131         hamt(ipw,ita)=0.d0
132         hamt0(ipw,ita)=0.d0
133 30    continue
134                                     call swatch(58,2,'do 30  ')
135                                     call swatch(59,1,'do 40  ')
136     ita=0
137     do 40 it=1,nttp
138     do 40 ia=1,natom(it)
139         ita=ita+1
140         im=idmsh(it)
141         lm=0
142         do 42 l=0,lmax
143         do 42 m=-l,l
144             lm=lm+1
145         do 44 ipw=1,npw(k)
146             aan=conjg(ylmk(ipw,lm))*exkr(ipw,ita)*aln(ipw,l,it,is)
147             ban=conjg(ylmk(ipw,lm))*exkr(ipw,ita)*bln(ipw,l,it,is)
148             samt(ipw,ita)=samt(ipw,ita)
149 &                 +conjg(aan)*p(lm,ita)
150 &                 +conjg(ban)*q(lm,ita)*penorm(l,it,is)
151             hamt(ipw,ita)=hamt(ipw,ita)
152 &                 +conjg(aan)*p(lm,ita)*ezr(l,it,is)
153 &                 +conjg(aan)*q(lm,ita)
154 &                 +conjg(ban)*q(lm,ita)*ezr(l,it,is)
155 &                 *penorm(l,it,is)
156 44    continue
157         do 46 ipw=1,npw(k)
158             ss(ipw)=ylmk(ipw,lm)*conjg(exkr(ipw,ita))
159 46    continue
160         do 48 ir=1,ncrd0(im)
161             wt=t(ir,lm,ita)*rwei0(ir,im)
162             wu=u(ir,lm,ita)*rwei0(ir,im)
163         do 49 ipw=1,npw(k)
164             samt0(ipw,ita)=samt0(ipw,ita)
165 &                 +ss(ipw)*sjlnr(ipw,ir,l,im)*wt
166             hamt0(ipw,ita)=hamt0(ipw,ita)
167 &                 +ss(ipw)*sjlnr(ipw,ir,l,im)*wu
168 49    continue
169 48    continue
170 42    continue
171 40    continue
172                                     call swatch(59,2,'do 40  ')
173                                     call swatch(60,1,'do 60  ')
174     do 60 ita=1,nats
175     do 62 ipw=1,npw(k)
176         samt(ipw,ita)=samt(ipw,ita)*fpi*vi
177         hamt(ipw,ita)=hamt(ipw,ita)*fpi*vi
178         samt0(ipw,ita)=samt0(ipw,ita)*fpi*vi
179         hamt0(ipw,ita)=hamt0(ipw,ita)*fpi*vi
180 62    continue

```

```

181      60      continue
182              call swatch(60,2,'do 60  ')
183              call swatch(61,1,'do 70  ')
184      do 70 ita=1,nats
185      do 70 ipw=1,npw(k)
186          smt(ipw)=smt(ipw)+samt(ipw,ita)-samt0(ipw,ita)
187          hmt(ipw)=hmt(ipw)+hmt(ipw,ita)-hmt0(ipw,ita)
188      70      continue
189              call swatch(61,2,'do 70  ')
190              call swatch(62,1,'do 76  ')
191      do 76 je=1,ne
192          smm(je,ie)=0.d0
193          hmm(je,ie)=0.d0
194          do 78 ipw=1,npw(k)
195              smm(je,ie)=smm(je,ie)
196          &          +conjg(cnn(ipw,je,k,is))*smt(ipw)
197          &          hmm(je,ie)=hmm(je,ie)
198          &          +conjg(cnn(ipw,je,k,is))*hmt(ipw)
199      78      continue
200      76      continue
201          hexp=hmm(ie,ie)
202          sexp=smm(ie,ie)
203          eps(ie,k,is)=hexp/sexp
204 ccccc write(6,'(2i5,4d15.5)') k,ie,hmm(ie,ie),smm(ie,ie)
205              call swatch(62,2,'do 76  ')
206              call swatch(63,1,'do 80  ')
207      do 80 ipw=1,npw(k)
208          fcn(ipw,ie,k,is)=-hmt(ipw)+eps(ie,k,is)*smt(ipw)
209      80      continue
210              call swatch(63,2,'do 80  ')
211              call swatch(64,1,'do 82  ')
212      do 82 ita=1,nats
213          do 84 ipw=1,npw(k)
214              l=indpw(1,ipw,k)
215              m=indpw(2,ipw,k)
216              n=indpw(3,ipw,k)
217              igv=lstgv(l,m,n)
218              cmt =dimag(conjg(cnn(ipw,ie,k,is)))
219          &          *(hmt(ipw,ita)-samt(ipw,ita)*eps(ie,k,is))
220              cmt0=dimag(conjg(cnn(ipw,ie,k,is)))
221          &          *(hmt0(ipw,ita)-samt0(ipw,ita)*eps(ie,k,is))
222              fm(1,ita)=fm(1,ita)-2.d0*weir*cmt *l
223              fm(2,ita)=fm(2,ita)-2.d0*weir*cmt *m
224              fm(3,ita)=fm(3,ita)-2.d0*weir*cmt *n
225              fm0(1,ita)=fm0(1,ita)-2.d0*weir*cmt0*l
226              fm0(2,ita)=fm0(2,ita)-2.d0*weir*cmt0*m
227              fm0(3,ita)=fm0(3,ita)-2.d0*weir*cmt0*n
228      84      continue
229      82      continue
230              call swatch(64,2,'do 82  ')
231      22      continue
232 ccc call cmatpr('hmm  ',hmm,1)
233 ccc call cmatpr('smm  ',smm,1)
234 c diagonalize and rotate cnn
235     if(ldiag.gt.0) then
236         if(mod(loop,ldiag).eq.0) then
237             ij=0
238             do 26 ie=1,ne
239                 do 26 je=1,ie
240                     ij=ij+1
241                     hr(ij)=0.5d0*(dreal(hmm(ie,je))+dreal(hmm(je,ie)))
242                     hi(ij)=0.5d0*(dimag(hmm(ie,je))-dimag(hmm(je,ie)))
243                     or(ij)=0.5d0*(dreal(smm(ie,je))+dreal(smm(je,ie)))
244                     oi(ij)=0.5d0*(dimag(smm(ie,je))-dimag(smm(je,ie)))
245      26      continue
246          call diagon(nemax,ne,ne,hr,hi,or,oi)

```



```

247      &          eps(1,k, is), zr, zi, work)
248          do 28 ie=1, ne
249          do 28 je=1, ne
250              zmm(ie, je)=dcmplx(zr(ie, je), zi(ie, je))
251      28      continue
252          call rotele(is,k, cnn, fcn, zmm)
253      endif
254      endif
255      21 continue
256      20 continue
257 c make the atomic forces into those in the cartesian units
258      do 90 ita=1, nats
259          f1=fm(1, ita)
260          f2=fm(2, ita)
261          f3=fm(3, ita)
262          fm(1, ita)=rcmt(1,1)*f1+rcmt(1,2)*f2+rcmt(1,3)*f3
263          fm(2, ita)=rcmt(2,1)*f1+rcmt(2,2)*f2+rcmt(2,3)*f3
264          fm(3, ita)=rcmt(3,1)*f1+rcmt(3,2)*f2+rcmt(3,3)*f3
265      90 continue
266      do 92 ita=1, nats
267          f1=fm0(1, ita)
268          f2=fm0(2, ita)
269          f3=fm0(3, ita)
270          fm0(1, ita)=rcmt(1,1)*f1+rcmt(1,2)*f2+rcmt(1,3)*f3
271          fm0(2, ita)=rcmt(2,1)*f1+rcmt(2,2)*f2+rcmt(2,3)*f3
272          fm0(3, ita)=rcmt(3,1)*f1+rcmt(3,2)*f2+rcmt(3,3)*f3
273      92 continue
274 c symmetry consideration
275      do 86 ita=1, nats
276          do 88 ks=1, nsym
277              ksi=invrot(ks)
278              jta=itarot(ks, ita)
279              fom(1, ita)=fom(1, ita)+drot(1,1, ksi)*fm(1, jta)
280              &          +drot(1,2, ksi)*fm(2, jta)
281              &          +drot(1,3, ksi)*fm(3, jta)
282              fom(2, ita)=fom(2, ita)+drot(2,1, ksi)*fm(1, jta)
283              &          +drot(2,2, ksi)*fm(2, jta)
284              &          +drot(2,3, ksi)*fm(3, jta)
285              fom(3, ita)=fom(3, ita)+drot(3,1, ksi)*fm(1, jta)
286              &          +drot(3,2, ksi)*fm(2, jta)
287              &          +drot(3,3, ksi)*fm(3, jta)
288              fom0(1, ita)=fom0(1, ita)+drot(1,1, ksi)*fm0(1, jta)
289              &          +drot(1,2, ksi)*fm0(2, jta)
290              &          +drot(1,3, ksi)*fm0(3, jta)
291              fom0(2, ita)=fom0(2, ita)+drot(2,1, ksi)*fm0(1, jta)
292              &          +drot(2,2, ksi)*fm0(2, jta)
293              &          +drot(2,3, ksi)*fm0(3, jta)
294              fom0(3, ita)=fom0(3, ita)+drot(3,1, ksi)*fm0(1, jta)
295              &          +drot(3,2, ksi)*fm0(2, jta)
296              &          +drot(3,3, ksi)*fm0(3, jta)
297      88      continue
298          fom(1, ita)=fom(1, ita)/nsym
299          fom(2, ita)=fom(2, ita)/nsym
300          fom(3, ita)=fom(3, ita)/nsym
301          fom0(1, ita)=fom0(1, ita)/nsym
302          fom0(2, ita)=fom0(2, ita)/nsym
303          fom0(3, ita)=fom0(3, ita)/nsym
304      86 continue
305 c add all atomic forces to make the total forces
306      do 94 ita=1, nats
307          foa(1, ita)=fog(1, ita)+fom(1, ita)-fom0(1, ita)
308          foa(2, ita)=fog(2, ita)+fom(2, ita)-fom0(2, ita)
309          foa(3, ita)=fog(3, ita)+fom(3, ita)-fom0(3, ita)
310      94 continue
311 c
312      if(!print.gt.0) then

```

```

313         if(mod(loop,lprint).eq.0) then
314             call forcpr(foa,fog,fom,fom0)
315         endif
316     endif
317     call writ24(foa,fog,fom,fom0)
318 c make the total atomic forces into those in lattice vector units
319     do 96 ita=1,nats
320         fx=foa(1,ita)
321         fy=foa(2,ita)
322         fz=foa(3,ita)
323         foa(1,ita)=(rcmt(1,1)*fx+rcmt(2,1)*fy+rcmt(3,1)*fz)/tpi
324         foa(2,ita)=(rcmt(1,2)*fx+rcmt(2,2)*fy+rcmt(3,2)*fz)/tpi
325         foa(3,ita)=(rcmt(1,3)*fx+rcmt(2,3)*fy+rcmt(3,3)*fz)/tpi
326     96 continue
327 c
328     return
329     end

```

(orthon)

```

1 c---- orthon
2 c
3     subroutine orthon(nspin,cnn,loop)
4     implicit real*8 (a-h,o-z)
5     parameter (nbase=1499)
6     parameter (nemax=50,nkmax=36)
7     parameter (ntype=4,nsite=7,mstype=2,nrad=401,nrad0=61)
8     parameter (nsp=1)
9     parameter (lup=2,lmax=(lup+1)**2)
10    parameter (nloop=500)
11 c
12    complex*16 cnn(nbase,nemax,nkmax,nsp)
13 c
14    complex*16 smm(nemax,nemax)
15    complex*16 smt(nbase)
16    complex*16 samt(nbase,nsite)
17    complex*16 samt0(nbase,nsite)
18    complex*16 ss(nbase)
19    complex*16 ylmk,exkr,p,q,t,u
20    complex*16 aan,ban,wt
21 c
22    real*8 rcmt(3,3)
23 c
24    common/cbasis/brmt(3,3)
25    common/ckpvec/ak(3,nkmax),wk(nkmax),nkpt
26    common/csizes/npw(nkmax),ne
27    common/cdelta/dt(nloop),dta(nloop),mode
28    common/catoms/zval(ntype),idmsh(ntype),natom(ntype),lmax,nttp
29    common/cradii/radmt(mstype),xstep(mstype),
30    &          nrd(mstype),nrd0(mstype),mstp
31    common/cradw0/rval0(nrad0,mstype),rwei0(nrad0,mstype)
32    common/casfun/pf(0:lup,ntype,nsp),dpf(0:lup,ntype,nsp),
33    &          pef(0:lup,ntype,nsp),dpef(0:lup,ntype,nsp),
34    &          penorm(0:lup,ntype,nsp),wronsk(0:lup,ntype,nsp)
35    common/catome/ezr(0:lup,ntype,nsp)
36    common/cwork1/ylmk(nbase,lmax),exkr(nbase,nsite),
37    &          p(lmax,nsite),q(lmax,nsite),
38    &          t(nrad,lmax,nsite),u(nrad,lmax,nsite),
39    &          aIn(nbase,0:lup,ntype,nsp),
40    &          bIn(nbase,0:lup,ntype,nsp),
41    &          sjlnr(nbase,nrad,0:lup,mstype)
42    common/cprint/lprint,ngpr,incr,incr0
43 c
44    if(dt(loop).le.0.d0) return
45 c

```

```

46     tpi=8. d0*atan(1. d0)
47     fpi=tpi+tpi
48     vol=abs(deter3(brmt))
49     vi=1. d0/vol
50 c
51     do 20 k=1, nkpt
52         call mkylmk(k, ylmk)
53         call mkexkr(k, exkr)
54         call mkabln(nspin, k, aln, bln)
55         call mkjln0(k, sjlnr)
56         do 21 is=1, nspin
57             do 22 ie=1, ne
58                 call mkpqt0(is, k, ie, cnn, ylmk, exkr, aln, bln, sjlnr, p, q, t)
59                 do 30 ita=1, nsite
60                     do 30 ipw=1, nbase
61                         samt(ipw, ita)=0. d0
62                         samt0(ipw, ita)=0. d0
63     30     continue
64             ita=0
65             do 40 it=1, nttp
66                 do 40 ia=1, natom(it)
67                     ita=ita+1
68                     im=idmsh(it)
69                     lm=0
70                     do 42 l=0, lmax
71                         do 42 m=-l, l
72                             lm=lm+1
73                             do 44 ipw=1, npw(k)
74                                 aan=conjg(ylmk(ipw, lm))*exkr(ipw, ita)*aln(ipw, l, it, is)
75                                 ban=conjg(ylmk(ipw, lm))*exkr(ipw, ita)*bln(ipw, l, it, is)
76                                 samt(ipw, ita)=samt(ipw, ita)
77     &                                     +conjg(aan)*p(lm, ita)
78     &                                     +conjg(ban)*q(lm, ita)*penorm(l, it, is)
79     44     continue
80             do 50 ipw=1, npw(k)
81                 ss(ipw)=ylmk(ipw, lm)*conjg(exkr(ipw, ita))
82     50     continue
83             do 52 ir=1, nrd0(im)
84                 wt=t(ir, lm, ita)*rwei0(ir, im)
85                 do 54 ipw=1, npw(k)
86                     samt0(ipw, ita)=samt0(ipw, ita)
87     &                                     +ss(ipw)*sjlnr(ipw, ir, l, im)*wt
88     54     continue
89     52     continue
90     42     continue
91     40     continue
92             ita=0
93             do 60 it=1, nttp
94                 do 60 ia=1, natom(it)
95                     ita=ita+1
96                     do 62 ipw=1, npw(k)
97                         samt(ipw, ita)=samt(ipw, ita)*fpi*vi
98                         samt0(ipw, ita)=samt0(ipw, ita)*fpi*vi
99     62     continue
100    60     continue
101            do 70 ipw=1, npw(k)
102                smt(ipw)=cnn(ipw, ie, k, is)
103    70     continue
104            ita=0
105            do 72 it=1, nttp
106                do 72 ia=1, natom(it)
107                    ita=ita+1
108                    do 72 ipw=1, npw(k)
109                        smt(ipw)=smt(ipw)+samt(ipw, ita)-samt0(ipw, ita)
110    72     continue
111            do 76 je=1, ne

```

```
112      smm(je, ie)=0. d0
113      do 78 ipw=1, npw(k)
114          smm(je, ie)=smm(je, ie)+conjg(cnn(ipw, je, k, is))*smt(ipw)
115      78      continue
116      76      continue
117      22      continue
118  c
119  c      if(lprint.gt.0) then
120  c          if(mod(loop, lprint).eq.0) then
121  c              call cmatpr('smm      ', smm, 1)
122  c          endif
123  c      endif
124  c
125      call schmit(is, k, cnn, smm)
126      21      continue
127  c
128      20      continue
129      return
130      end
```

国際単位系 (SI) と換算表

表1 SI基本単位および補助単位

量	名称	記号
長さ	メートル	m
質量	キログラム	kg
時間	秒	s
電流	アンペア	A
熱力学温度	ケルビン	K
物質質量	モル	mol
光度	カンデラ	cd
平面角	ラジアン	rad
立体角	ステラジアン	sr

表3 固有の名称をもつSI組立単位

量	名称	記号	他のSI単位による表現
周波数	ヘルツ	Hz	s ⁻¹
力	ニュートン	N	m·kg/s ²
圧力, 応力	パスカル	Pa	N/m ²
エネルギー, 仕事, 熱量	ジュール	J	N·m
工率, 放射束	ワット	W	J/s
電気量, 電荷	クーロン	C	A·s
電位, 電圧, 起電力	ボルト	V	W/A
静電容量	ファラド	F	C/V
電気抵抗	オーム	Ω	V/A
コンダクタンス	ジーメンズ	S	A/V
磁束	ウェーバ	Wb	V·s
磁束密度	テスラ	T	Wb/m ²
インダクタンス	ヘンリー	H	Wb/A
セルシウス温度	セルシウス度	°C	
光度	ルーメン	lm	cd·sr
照射度	ルクス	lx	lm/m ²
放射能	ベクレル	Bq	s ⁻¹
吸収線量	グレイ	Gy	J/kg
線量当量	シーベルト	Sv	J/kg

表2 SIと併用される単位

名称	記号
分, 時, 日	min, h, d
度, 分, 秒	°, ', "
リットル	l, L
トン	t
電子ボルト	eV
原子質量単位	u

1 eV = 1.60218 × 10⁻¹⁹ J

1 u = 1.66054 × 10⁻²⁷ kg

表4 SIと共に暫定的に維持される単位

名称	記号
オングストローム	Å
バ	b
バール	bar
ガロン	Gal
キュリー	Ci
レントゲン	R
ラド	rad
レム	rem

1 Å = 0.1 nm = 10⁻¹⁰ m

1 b = 100 fm² = 10⁻²⁸ m²

1 bar = 0.1 MPa = 10⁵ Pa

1 Gal = 1 cm/s² = 10⁻² m/s²

1 Ci = 3.7 × 10¹⁰ Bq

1 R = 2.58 × 10⁻⁴ C/kg

1 rad = 1 cGy = 10⁻² Gy

1 rem = 1 cSv = 10⁻² Sv

表5 SI接頭語

倍数	接頭語	記号
10 ¹⁸	エクサ	E
10 ¹⁵	ペタ	P
10 ¹²	テラ	T
10 ⁹	ギガ	G
10 ⁶	メガ	M
10 ³	キロ	k
10 ²	ヘクト	h
10 ¹	デカ	da
10 ⁻¹	デシ	d
10 ⁻²	センチ	c
10 ⁻³	ミリ	m
10 ⁻⁶	マイクロ	μ
10 ⁻⁹	ナノ	n
10 ⁻¹²	ピコ	p
10 ⁻¹⁵	フェムト	f
10 ⁻¹⁸	アト	a

(注)

- 表1-5は「国際単位系」第5版, 国際度量衡局 1985年刊行による。ただし, 1 eV および 1 uの値は CODATAの1986年推奨値によった。
- 表4には海里, ノット, アール, ヘクタールも含まれているが日常の単位なのでここでは省略した。
- barは, JISでは流体の圧力を表す場合に限り表2のカテゴリーに分類されている。
- EC閣僚理事会指令では bar, barn および「血圧の単位」mmHgを表2のカテゴリーに入れている。

換算表

力	N (=10 ⁵ dyn)	kgf	lbf
	1	0.101972	0.224809
	9.80665	1	2.20462
	4.44822	0.453592	1

粘度 1 Pa·s (= N·s/m²) = 10 P (ポアズ) (g/(cm·s))

動粘度 1 m²/s = 10⁶ St (ストークス) (cm²/s)

圧	MPa (=10 bar)	kgf/cm ²	atm	mmHg (Torr)	lbf/in ² (psi)
	1	10.1972	9.86923	7.50062 × 10 ⁴	145.038
力	0.0980665	1	0.967841	735.559	14.2233
	0.101325	1.03323	1	760	14.6959
	1.33322 × 10 ⁻⁴	1.35951 × 10 ⁻³	1.31579 × 10 ⁻³	1	1.93368 × 10 ⁻²
	6.89476 × 10 ⁻³	7.03070 × 10 ⁻²	6.80460 × 10 ⁻²	51.7149	1

エネルギー・仕事・熱量	J (=10 ⁷ erg)	kgf·m	kW·h	cal (計量法)	Btu	ft·lbf	eV	1 cal = 4.18605 J (計量法) = 4.184 J (熱化学) = 4.1855 J (15 °C) = 4.1868 J (国際蒸気表)
	1	0.101972	2.77778 × 10 ⁻⁷	0.238889	9.47813 × 10 ⁻⁴	0.737562	6.24150 × 10 ¹⁸	
	9.80665	1	2.72407 × 10 ⁻⁶	2.34270	9.29487 × 10 ⁻³	7.23301	6.12082 × 10 ¹⁹	
	3.6 × 10 ⁶	3.67098 × 10 ⁶	1	8.59999 × 10 ⁵	3412.13	2.65522 × 10 ⁶	2.24694 × 10 ²⁵	
	4.18605	0.426858	1.16279 × 10 ⁻⁶	1	3.96759 × 10 ⁻³	3.08747	2.61272 × 10 ¹⁹	仕事率 1 PS (馬力) = 75 kgf·m/s = 735.499 W
	1055.06	107.586	2.93072 × 10 ⁻⁴	252.042	1	778.172	6.58515 × 10 ²¹	
	1.35582	0.138255	3.76616 × 10 ⁻⁷	0.323890	1.28506 × 10 ⁻³	1	8.46233 × 10 ¹⁸	
	1.60218 × 10 ⁻¹⁹	1.63377 × 10 ⁻²⁰	4.45050 × 10 ⁻²⁴	3.82743 × 10 ⁻²⁶	1.51857 × 10 ⁻²²	1.18171 × 10 ⁻¹⁹	1	

放射能	Bq	Ci
	1	2.70270 × 10 ⁻¹¹
	3.7 × 10 ¹⁰	1

吸収線量	Gy	rad
	1	100
	0.01	1

照射線量	C/kg	R
	1	3876
	2.58 × 10 ⁻⁴	1

線量当量	Sv	rem
	1	100
	0.01	1

第一原理電子状態計算プログラムの並列化